网络出版时间:2022-7-28 15:37 网络出版地址:https://kns.cnki.net/kcms/detail/34.1065.R.20220727.1754.003.html

## 小檗碱抑制 JAK2/STAT3 信号通路缓解 高糖诱导的足细胞 EMT 和凋亡

吴 昊¹,杨 琳¹,唐丽琴¹,²,魏 伟¹

摘要 目的 探讨小檗碱(BBR)对高糖(HG)环境诱导的足 细胞上皮间质转化(EMT)和凋亡的调节作用及部分机制。 方法 将指数生长期的足细胞分为以下几组:正常组、高糖 组、小檗碱(30、60和90 µmol/L)给药组。流式细胞术检测 足细胞凋亡情况;Transwell 和划痕实验检测足细胞迁移能 力;Western blot 检测细胞凋亡蛋白 Bim、足细胞 EMT 相关蛋 白 nephrin、α-平滑肌肌动蛋白(α-SMA)、波形蛋白(vimentin)和酪氨酸激酶 2(JAK2)/信号转导子和转录激活子 3 (STAT3)通路相关蛋白的表达水平;激光共聚焦法检测 EMT 相关蛋白 nephrin、α-SMA 和 vimentin 在足细胞中的表达情 况。**结果** 流式细胞术结果表明 BBR(30、60 和 90 μmol/L) 能够减少高糖环境下的足细胞凋亡;Transwell 和划痕实验结 果表明 BBR(30、60 和 90 μmol/L)能抑制高糖环境下的足细 胞异常迁移; Western blot 结果表明 BBR (30、60 和 90 μmol/L)可以降低高糖环境下足细胞中 p-JAK2 \p-STAT3 \α-SMA、vimentin、Bim 蛋白的表达,升高 nephrin 蛋白的表达;激 光共聚焦结果表明 BBR(30、60 和 90 μmol/L)可降低足细 胞的细胞质上 α-SMA、vimentin 的表达,升高足细胞核和细 胞质上 nephrin 的表达。结论 BBR 可能通过抑制 JAK2/ STAT3 信号通路缓解高糖诱导的足细胞 EMT 和凋亡。

关键词 小檗碱;糖尿病肾病;足细胞;上皮间质转化;凋亡中图分类号 R 587.24

文献标志码 A 文章编号 1000 - 1492(2022)08 - 1189 - 06 doi:10.19405/j. cnki. issn1000 - 1492.2022.08.003

糖尿病肾病(diabetic nephropathy, DN)是一种慢性肾病,是1型和2型糖尿病的一种慢性微血管并发症。高血糖、高血脂、代谢异常、微血管循环障碍和炎症反应等都可以引起糖尿病肾病的发生。糖

2022 - 05 - 19 接收

基金项目:国家自然科学基金(编号:82174031、81773955);安徽省省 级教学研究项目(编号:2020jyxm2328)

作者单位: <sup>1</sup> 安徽医科大学临床药理研究所, 抗炎免疫药物教育部重 点实验室, 合肥 230032

<sup>2</sup> 中国科学技术大学附属第一医院药剂科,合肥 230001 作者简介:吴 吴,女,硕士研究生;

> 唐丽琴,女,博士,主任药师,教授,博士生导师,责任作者, E-mail:tangliqin@ustc.edu.cn;

> 魏 伟,男,博士,教授,博士生导师,责任作者,E-mail: wwei@ahmu.edu.cn

尿病肾病的主要病理特征是肾小球基底膜增厚、细 胞外基质增生、系膜细胞增殖、足细胞损伤和肾小管 纤维化等[1]。研究[2]发现,足细胞上皮间质转化 (epithelial-mesenchymal transition, EMT)和凋亡在糖 尿病肾病足细胞损伤中起着重要作用,足细胞发生 EMT 和凋亡后会使肾小球的滤过屏障受损,肾小球 滤过率降低,出现蛋白尿,加快糖尿病肾病进程。信 号转导子和转录激活子3(signal transducer and activator of transcription 3, STAT3) 是酪氨酸激酶 2(janus kinase 2, JAK2) 的下游信号[3], JAK2 的激活可 引起 STAT3 的磷酸化,磷酸化的 STAT3 会影响细胞 的生长、凋亡和 EMT 过程<sup>[4]</sup>。小檗碱 (berberine, BBR)是一种季铵类生物碱,具有降血糖、调节血脂、 抑制炎症和肾脏保护等作用,课题组前期研究[5-6] 发现,BBR 可能在 DN 的发生发展中起着重要作用, 但是其具体机制仍不清晰。因此该文研究了 BBR 对足细胞 EMT 和凋亡的缓解作用以及其与 JAK2/ STAT3 信号通路的关系,为临床上对 DN 的防治提 供了新的思路。

#### 1 材料与方法

1.1 实验材料与仪器 小鼠 MPC5 细胞系(BNCC 337685),BBR(BW 50137,纯度为98.37%,高效液 相色谱法)购自北京北纳创联生物技术研究院。细 胞凋亡试剂盒(货号: AP101-100-kit, 杭州联科生物 技术股份有限公司);抗荧光淬灭剂(货号:P0126, 上海碧云天公司); RPMI 1640 培养基(货号; SH30809.01,上海江林生物科技有限公司); Transwell 小室(货号:3422, Corning 公司); 兔抗磷酸化 酪氨酸激酶 2 (phosphorylated janus kinase 2, p-JAK2) 抗体(货号:4406T)、鼠抗 STAT3 抗体(货号: 9139S)、兔抗磷酸化信号转导子和转录激活子3 (phosphorylated signal transducer and activator of transcription 3,p-STAT3) 抗体(货号:9145S)、兔抗细胞 凋亡调节因子(bcl-2 interacting mediator of cell death, Bim) 抗体(货号: 2933) 购自美国 Cell Signaling Technology 公司;兔抗 JAK2 抗体(货号:17670I-AP)、鼠抗波形蛋白(vimentin)抗体(货号:60330-1-Ig)购自武汉 Proteintech 公司;兔抗足细胞裂孔膜蛋白(nephrin)抗体(货号:ab216341)、鼠抗α-平滑肌肌动蛋白(alpha-smooth muscle actin,α-SMA)抗体(货号:ab7817)购自英国 abcam 公司。激光共聚焦显微镜购自德国莱卡公司;OLYMPUS CKX 31 型倒置显微镜购自伊本奥林巴斯有限公司;FC 贝克 500型贝尔曼流式细胞仪购自美国贝克曼库尔特公司;电泳架购自北京六一仪器厂;Image Quant Las 4000 mini 型化学发光成像分析仪购自美国 GEHealthcare Life Sciences 公司;电子分析天平购自上海精天电子仪器厂。

#### 1.2 方法

- 1.2.1 细胞培养 将复苏的足细胞用含有 10% 血清、1% 双抗、0.2%  $\gamma$ -干扰素的 RPMI 1640 完全培养基重悬,置于 37 % 、5% CO<sub>2</sub> 的培养箱中培养,待细胞长至培养瓶的 90% 左右时,消化离心进行后续实验。
- 1.2.2 流式细胞术检测细胞凋亡 6孔板中加入2 ml  $1 \times 10^6$ /ml 细胞悬液,细胞贴壁后随机分为5组,即正常组(Control,葡萄糖浓度 11.1 mmol/L)、模型组(HG,葡萄糖浓度 30 mmol/L)和不同浓度 BBR给药组( $30 \times 60 \times 90 \text{ µmol/L}$ ),按分组加高糖刺激和给药之后继续培养 24 h,用不含 EDTA的胰酶消化, $1 \times 500 \text{ r/min}$ ,4  $\infty$  离心 10 min 后,去除上清液,每管加入 500 µl 稀释5 倍的 Binding buffer,混匀,将混匀后的液体转移至流式管中,加入凋亡试剂盒中的相应抗体,室温避光孵育5 min 后,上机检测观察每组细胞的凋亡情况。
- 1.2.3 划痕实验检测细胞迁移 在6孔板背面水平划出三条平行的直线,间距相等,然后将细胞悬液接种于6孔板中,待细胞长至6孔板的80%左右时在孔中均匀的划出与背面直线垂直的三条直线,PBS清洗2次,分组加刺激和给药同1.2.2项,于0、24h在显微镜下拍照留存,用image J 软件分析划痕面积,并按公式计算划痕愈合率,划痕愈合率=(0h划痕面积-24h划痕面积)/0h划痕面积×100%。1.2.4 Transwell 法检测细胞迁移 24孔板中加入500 μl含15% FBS的 RPMI 1640培养基,然后将Transwell小室放入24孔板中,上室加入200 μl1×10<sup>4</sup>/ml含5% FBS的 RPMI 1640培养基的细胞悬液,分组和加药同1.2.2项,培养24h后取出Transwell小室,预冷PBS洗2次,洗去死细胞,用含0.05%结晶紫的PBS染色20min,PBS清洗2次,擦

去上室未迁移的细胞,倒置显微镜下观察结果,随机选取5个视野拍摄保存,计算每个视野的细胞数。

- 1.2.5 Western blot 检测相关蛋白表达 将细胞悬液以  $1 \times 10^8$  个/孔接种于 6 孔板, 分组及加药同 1.2.2 项, 37 ℃培养 24 h后, PBS 清洗 2 次去除死细胞, 每孔加 100 μl RIPA 细胞裂解液 (RIPA: PMSF: 磷酸酶抑制剂 = 99:1:1), 放置 1 h后,将细胞刮下并收集于 EP管, 12 000 r/min, 4 ℃离心 10 min, 吸上清液于新的 EP管中, 加入适量  $5 \times$  蛋白上样缓冲溶液,煮沸 10 min 后得到蛋白。进行 10% SDS-PAGE 电泳,分别孵育 nephrin、 $\alpha$ -SMA、vimentin、JAK2、p-JAK2、STAT3、p-STAT3、Bim 蛋白对应抗体,最后于化学发光成像分析仪上进行检测,所得结果用 image J 软件进行灰度分析。
- 1.2.6 激光共聚焦法检测 nephrin、α-SMA、vimenin 的表达 将细胞悬液接种于含有盖玻片的 24 孔板中,分组加刺激和给药同 1.2.2 项,37 ℃培养 24 h后,预冷 PBS 洗去死细胞,经过 4% 多聚甲醛 100 μl固定 30 min、0.5% BSA 120 μl 封闭 1 h、一抗 80 μl 4 ℃孵育过夜、荧光二抗(1:100)120 μl 37 ℃孵育 2 h、DAPI 100 μl 染核 10 min 等步骤后,指甲油封片。激光共聚焦显微镜下观察细胞荧光结果并拍照留存。
- **1.3 统计学处理** 使用 SPSS 20.0 软件分析数据,数据以 $\bar{x} \pm s$  表示,数据分析方法采用单因素方差分析,P < 0.05 为差异有统计学意义。

#### 2 结果

- **2.1 BBR** 对足细胞凋亡的影响 流式细胞术结果显示(图 1), HG 组与 Control 组相比, 足细胞凋亡率上升(F = 38. 627, P < 0. 01); BBR 给药组(30、60、90  $\mu$ mol/L)与 HG 组相比, 足细胞凋亡率逐渐降低。
- 2.2 BBR 对足细胞迁移能力的影响 划痕实验结果显示(图 2A), HG 组与 Control 组相比, 划痕愈合率增加(F = 34.139, P < 0.01); BBR 给药组(30、60、90  $\mu$ mol/L)与 HG 组相比, 划痕愈合率逐渐降低, BBR 给药组(30、60、90  $\mu$ mol/L)均能降低足细胞的异常迁移。Transwell 实验结果显示(图 2B), HG 组与 Control 组相比,迁移到下室的足细胞增多(F = 51.417, P < 0.01); BBR 给药组(30、60、90  $\mu$ mol/L)与 HG 组相比,迁移到下室的足细胞减少。
- 2.3 BBR 对 p-JAK2、p-STAT3 和 Bim 蛋白表达的影响 Western blot 结果显示(图 3), HG 组与Control 组相比,足细胞的p-STAT3、Bim和p-JAK2

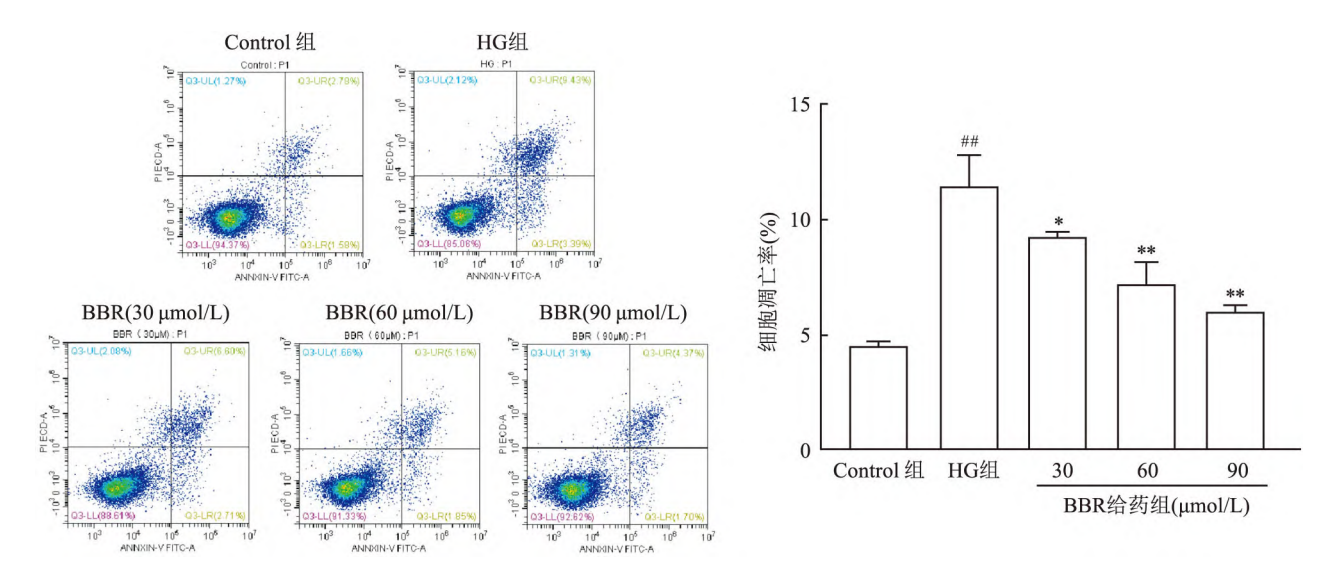


图 1 BBR 对足细胞凋亡的影响

与 Control 组比较: ##P < 0.01; 与 HG 组比较: \*P < 0.05, \*\*P < 0.01

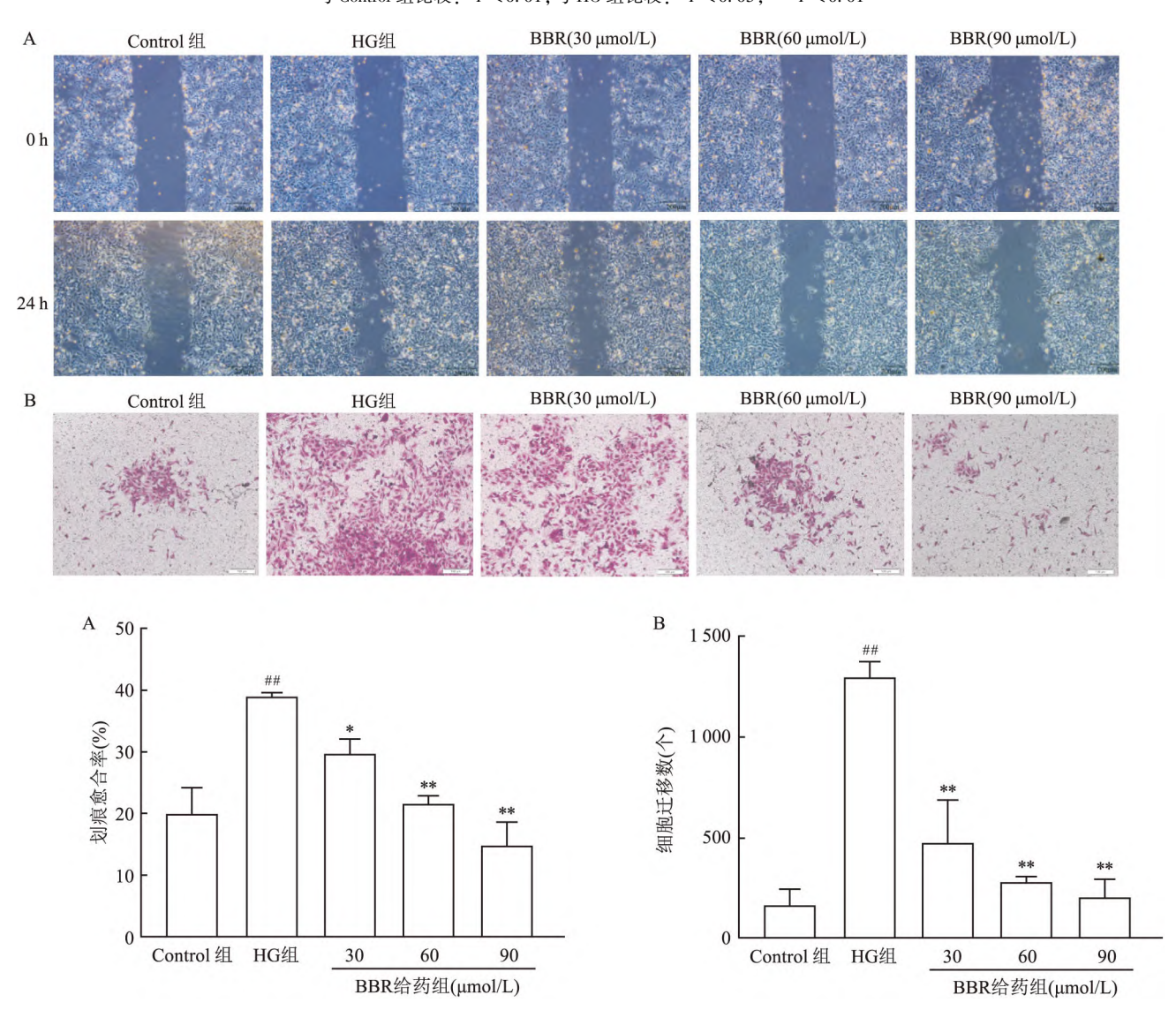


图 2 BBR 对足细胞迁移能力的影响

A: 划痕实验 ×200; B: Transwell 实验 结晶紫染色 ×200; 与 Control 组比较:  $^{\#}P$  < 0. 01; 与 HG 组比较:  $^{*}P$  < 0. 05,  $^{**}P$  < 0. 01

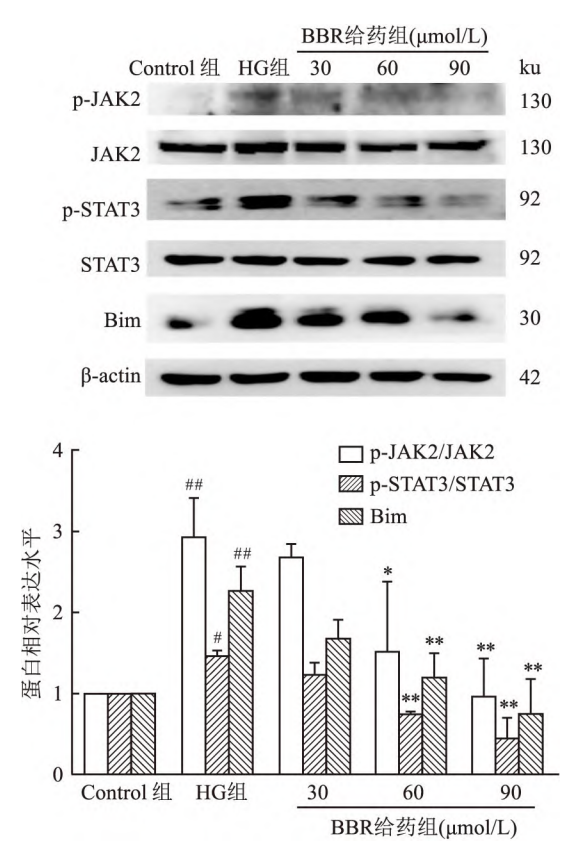


图 3 BBR 对 p-JAK2、p-STAT3 和 Bim 蛋白表达的影响 与 Control 组比较: \*P < 0.05, \*\*P < 0.01; 与 HG 组比较: \*P < 0.05, \*\*P < 0.01

的蛋白表达增加( $F = 10.875 \ 30.433 \ 13.709$ , P < 0.05); BBR 给药组( $30.60.90 \ \mu mol/L$ )与 HG 组相比, 足细胞的 p-STAT3、Bim 和 p-JAK2 的蛋白表达降低。

2.4 BBR 对 nephrin、α-SMA 和 vimentin 表达水 平的影响 Western blot 结果显示(图 4A), HG 组与 Control 组相比,足细胞上 nephrin 的蛋白表达降低 (F = 9.382, P < 0.05), vimentin 和 α-SMA 的蛋白表 达增加(F=6.628、3.683,P<0.05);BBR 给药组 (30、60、90 μmol/L)与 HG 组相比,能够增加足细胞 上 nephrin 的蛋白表达,降低 vimentin 和 α-SMA 的 蛋白表达。激光共聚焦结果显示(图 4B),HG 组与 Control 组相比,足细胞核和细胞质上的 nephrin 的 荧光强度降低(F = 9.722, P < 0.01), 足细胞质上 vimentin 和 α-SMA 的荧光强度增加 (F = 12.931、 4.820, P < 0.05),即 nephrin 的表达降低, vimentin 和 α-SMA 的表达增加; BBR 给药组(30、60、90 μmol/L)与 HG 组相比,能够增加 nephrin 的荧光强 度,降低 vimentin 和 α-SMA 的荧光强度,即 nephrin 的表达增加, vimentin 和 α-SMA 的表达降低。

#### 3 讨论

足细胞是一种终末分化的上皮细胞,覆盖在肾 小球基底膜外,是肾小球滤过屏障的重要组成部分, 对维持肾小球滤过功能至关重要[7]。DN 时,足细 胞的形态和数量发生变化,即足细胞肥大,足突融合 甚至消失,足细胞丢失等[8]。足细胞丢失是 DN 足 细胞损伤的显著性标志,有研究[9]发现,足细胞 EMT 和凋亡是造成足细胞丢失的主要机制,它们在 足细胞损伤中起着关键作用。足细胞 EMT 是指足 细胞失去其标志性的上皮特征而获得间充质细胞特 征的过程。足细胞发生 EMT 后,其上皮细胞样标志 蛋白如 nephrin、E-cadenrin 和 ZO-1 等表达降低,间 充质细胞样标志蛋白如 α-SMA vimentin 等表达升 高,迁移能力增加,可使足细胞从肾小球基底膜上脱 落,使肾小球滤过屏障受损,出现蛋白尿[10-11]。足 细胞凋亡是足细胞的一种程序化死亡,发生凋亡后, 其凋亡能力升高,数量显著减少,可使肾小球的滤过 屏障受损,肾小球的滤过率降低,进而出现一系列肾 脏疾病。本实验研究结果显示,使用 30 mmol/L 葡 萄糖成功刺激足细胞 24 h 后,足细胞出现 EMT 和 凋亡现象。与 Control 组相比, HG 组足细胞的迁移 能力增加,足细胞上 nephrin 表达降低,α-SMA、vimentin 和 Bim 表达增加。而不同浓度 BBR 给药后, 足细胞的凋亡率降低,异常迁移减少,足细胞上 nephrin 表达增加, α-SMA vimentin 和 Bim 表达降 低。这些结果说明 BBR 可以缓解高糖诱导的足细 胞 EMT 和凋亡,发挥保护足细胞作用。但具体作用 机制不明,仍需进一步探索。

JAK2/STAT3 信号通路是重要的信号转导通路,在生物体中广泛存在,参与多种疾病的发展过程。JAK2 是 STAT3 的上游激酶,活化后的 JAK2 会激活 STAT3,使 STAT3 在 Y705 位点上被磷酸化 <sup>[12]</sup>。磷酸化的 STAT3 会以二聚体的形式从细胞质进入细胞核,激活细胞因子应答基因的转录<sup>[13]</sup>。研究 <sup>[14]</sup>表明,JAK2/STAT3 信号通路在细胞的 EMT和调亡中发挥着重要作用,如:JAK2/STAT3 通路可诱导转录因子 Slug 的上调,促进胶质瘤细胞 EMT过程;姜黄素可通过抑制 JAK2/STAT3 信号通路的激活来缓解脓毒症肾损伤细胞的异常凋亡 <sup>[15]</sup>。本实验通过检测 JAK2/STAT3 信号通路的相关蛋白显示,HG 刺激足细胞后,p-JAK2、p-STAT3 的蛋白表达增加,足细胞发生 EMT 和凋亡现象。BBR 给药后,p-JAK2、p-STAT3的表达降低,足细胞的EMT和调

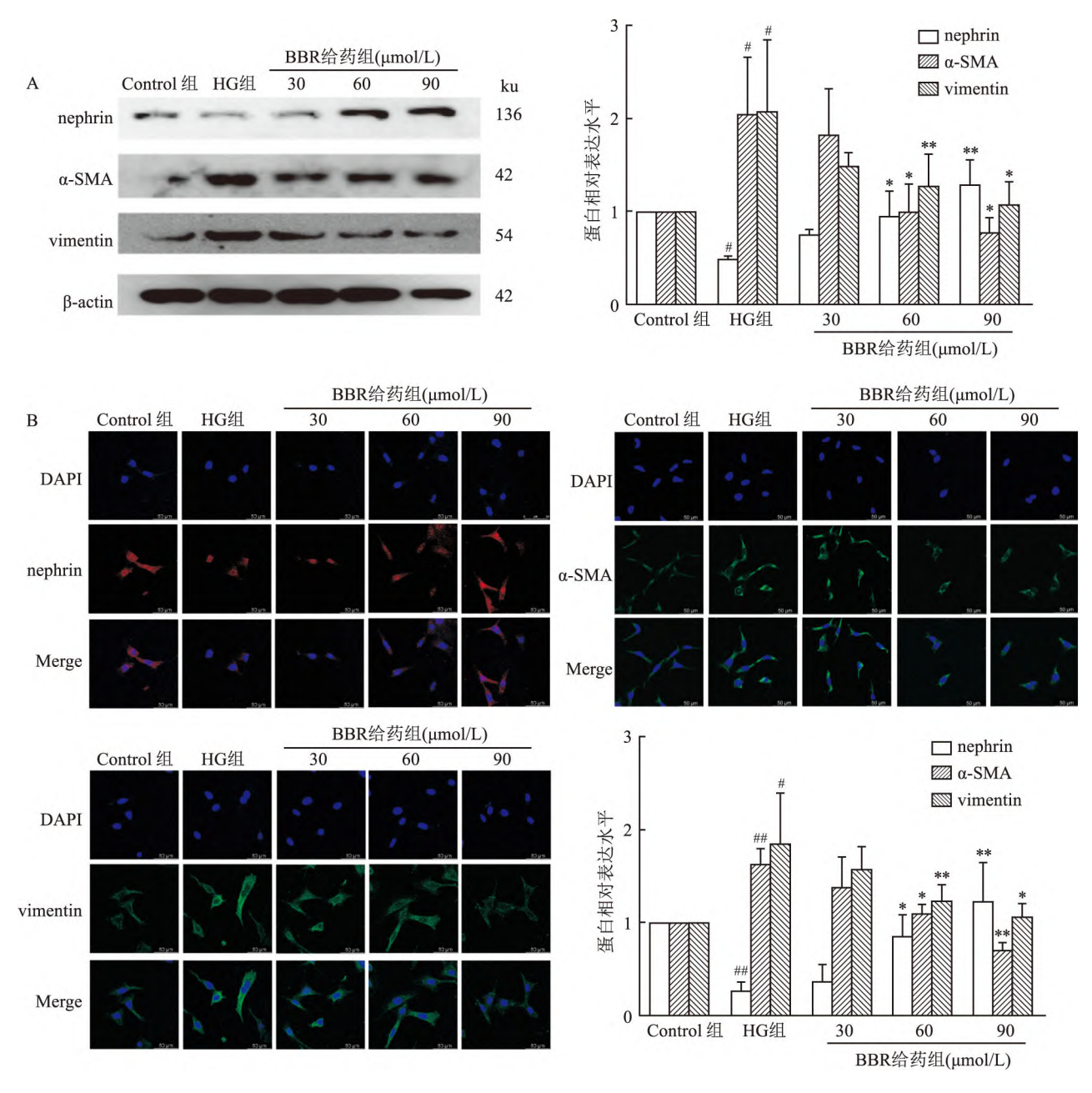


图 4 BBR 对 nephrin、α-SMA 和 vimentin 表达的影响

A; Western blot 实验 ×630; B; 激光共聚焦实验; 与 Control 组比较: "P < 0.05, ""P < 0.01; 与 HG 组比较: "P < 0.05, " P < 0.01

亡现象随之减轻。由此可以得出,高糖可能通过调节 JAK2/STAT3 信号通路导致足细胞 EMT 和凋亡,而 BBR 可能通过调节 JAK2/STAT3 信号通路来缓解这种现象的发生。

综上所述,HG 刺激能够激活 JAK2/STAT3 信号通路,诱导足细胞的 EMT 和凋亡过程,而 BBR 可以通过抑制 JAK2/STAT3 信号通路来缓解足细胞的 EMT 和凋亡过程,调节相关蛋白的表达,发挥对足细胞保护作用。

### 参考文献

- [1] Kawanami D, Matoba K, Utsunomiya K. Signaling pathways in diabetic nephropathy
  [J]. Histol Histopathol, 2016, 31(10): 1059
  -67.
- [2] Wang T, Gao Y, Wang X, et al. Calpain-10 drives podocyte apoptosis and renal injury in diabetic nephropathy [J]. Diabetes Metab Syndr Obes, 2019, 12: 1811 - 20.
- [3] 李根林,刘 杰,谢 晶,等. 白藜芦醇通过调控 IL-6/JAK2/ STAT3 信号通路对卵巢癌 SKOV-3 细胞增殖、凋亡、迁移和侵 袭的影响[J]. 安徽医科大学学报, 2020, 55(5): 706-11.

- [4] Chen Y, Shao Z, Jiang E, et al. CCL21/CCR7 interaction promotes EMT and enhances the stemness of OSCC via a JAK2/STAT3 signaling pathway [J]. J Cell Physiol, 2020, 235 (9): 5995-6009.
- [5] Qiu Y Y, Tang L Q, Wei W. Berberine exerts renoprotective effects by regulating the AGEs-RAGE signaling pathway in mesangial cells during diabetic nephropathy [J]. Mol Cell Endocrinol, 2017, 443: 89-105.
- [6] Wang Y Y, Tang L Q, Wei W. Berberine attenuates podocytes injury caused by exosomes derived from high glucose-induced mesangial cells through TGFβ1-PI3K/AKT pathway[J]. Eur J Pharmacol, 2018, 824: 185 – 92.
- [7] 汪佳佳, 胡亚琴, 吴 吴, 等. 小檗碱调节 AKT/NF-кB 信号 通路对高糖诱导的足细胞损伤、凋亡和迁移的影响[J]. 安徽 医科大学学报, 2021, 56(6): 845-50.
- [8] 张 亚,尚 进,王璐瑶,等. NOD2 调控 Snail 表达在糖尿病 肾病足细胞上皮 间质转分化中的作用[J]. 中华肾脏病杂志,2018,34(9):673-80.
- [9] Chen A, Feng Y, Lai H, et al. Soluble RARRES1 induces podocyte apoptosis to promote glomerular disease progression [J]. J Clin Invest, 2020, 130(10): 5523-35.

- [10] Ying Q, Wu G. Molecular mechanisms involved in podocyte EMT and concomitant diabetic kidney diseases; an update [J]. Ren Fail, 2017, 39(1); 474-83.
- [11] Tu Q, Li Y, Jin J, et al. Curcumin alleviates diabetic nephropathy *via* inhibiting podocyte mesenchymal transdifferentiation and inducing autophagy in rats and MPC5 cells [J]. Pharm Biol, 2019, 57(1): 778 86.
- [12] Wu W, Fu J, Gu Y, et al. JAK2/STAT3 regulates estrogen-related senescence of bone marrow stem cells [J]. J Endocrinol, 2020, 245(1): 141-53.
- [13] Hou Y, Wang K, Wan W, et al. Resveratrol provides neuroprotection by regulating the JAK2/STAT3/PI3K/AKT/mTOR pathway after stroke in rats[J]. Genes Dis, 2018, 5(3): 245-55.
- [14] Zhong C, Tao B, Chen Y, et al. B7-H3 regulates glioma growth and cell invasion through a JAK2/STAT3/Slug-dependent signaling pathway[J]. Onco Targets Ther, 2020, 13: 2215-24.
- [15] Zhu H, Wang X, Wang X, et al. Curcumin attenuates inflammation and cell apoptosis through regulating NF-κB and JAK2/STAT3 signaling pathway against acute kidney injury[J]. Cell Cycle, 2020, 19(15): 1941 51.

# Berberine inhibits JAK2/STAT3 signaling pathway to alleviate high glucose induced podocyte EMT and apoptosis

Wu Hao<sup>1</sup>, Yang Lin<sup>1</sup>, Tang Liqin<sup>1,2</sup>, Wei Wei<sup>1</sup>

(<sup>1</sup>Institute of Clinical Pharmacology, Anhui Medical University, Key Laboratory of Anti-inflammatory Immunodrugs of Ministry of Education, Hefei 230032; <sup>2</sup>Dept of Pharmacy, The First Affiliated Hospital of University of Science and Technology of China, Hefei 230001)

Abstract *Objective* To investigate the regulatory effects and partial mechanisms of berberine (BBR) on podocyte epithelial mesenchymal transformation (EMT) and apoptosis induced by high glucose (HG). *Methods* Podocytes at exponential growth stage were divided into normal group, high glucose group and berberine group (30, 60 and 90  $\mu$ mol/L). The rate of podocyte apoptosis was detected by flow cytometry. Transwell and scratch assay were used to detect podocyte migration. Western blot was used to detect the expression of apoptosis protein Bim, podocyte EMT-associated proteins nephrin,  $\alpha$ -smooth muscle actin ( $\alpha$ -SMA), vimentin and tyrosine kinase 2 (JAK2)/signal transductor and transcriptional activator 3 (STAT3) pathway-related proteins. Laser confocal method was used to detect the expression of EMT-related proteins nephrin,  $\alpha$ -SMA and vimentin in podocytes. *Results* 

Flow cytometry results showed that BBR (30, 60 and 90  $\mu$ mol/L) could reduce the rate of podocyte apoptosis in high glucose environment. Transwell and scratch test results showed that BBR (30, 60 and 90  $\mu$ mol/L) could inhibit abnormal podocytes migration in high glucose environment. Western blot results showed that BBR (30, 60 and 90  $\mu$ mol/L) could decrease the protein expression of p-JAK2, p-STAT3,  $\alpha$ -SMA, vimentin and Bim, and increase the protein expression of nephrin in podocytes under high glucose condition. Laser confocal results showed that the BBR (30, 60, and 90  $\mu$ mol/L) could decrease the expression of  $\alpha$ -SMA and vimentin in podocyte cytoplasm, increase the expression of nephrin in podocyte nucleus and cytoplasm. *Conclusion* BBR may alleviate the EMT and apoptosis of podocytes induced by high glucose through JAK2/STAT3 signaling pathway.

Key words berberine; diabetic nephropathy; podocyte; epithelial mesenchymal transformation; apoptosis